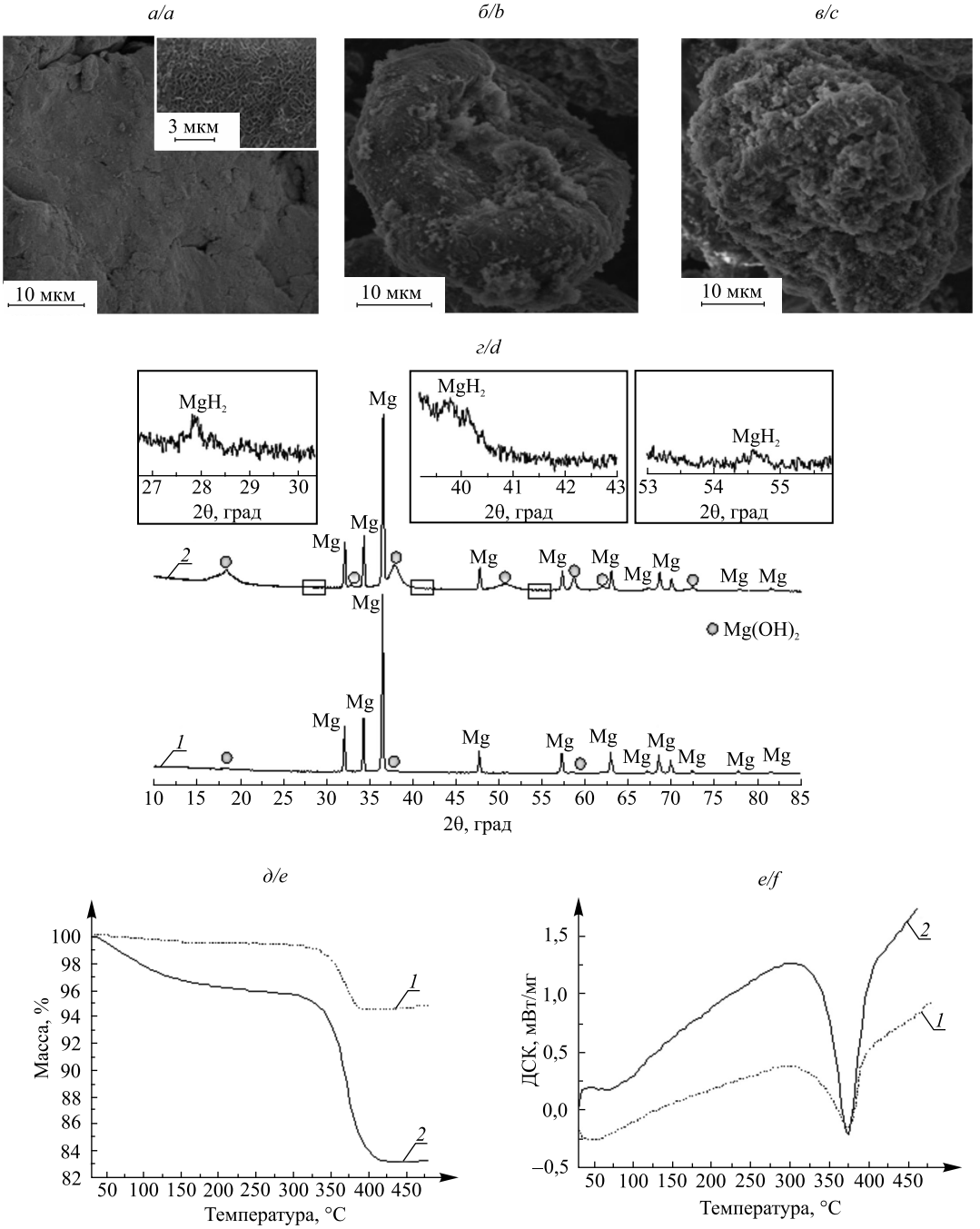


Рис. 3. СЭМ-изображения частиц магния: в исходном состоянии (*а*);
после модификации в воде в отсутствие ультразвуковой обработки (*а*, врезка);
после ультразвуковой модификации в суспензии с содержанием частиц 0,003 г/мл (*б*), 0,010 г/мл (*в*).
Рентгенограммы образцов (*г*) в отсутствие ультразвуковой обработки (*1*)
и после ультразвуковой модификации (*2*) (в прямоугольниках размещены увеличенные участки
рентгенограммы для демонстрации наличия фазы гидрида магния).
Термический анализ образцов (термогравиметрические кривые (*д*)
и кривые дифференциальной сканирующей калориметрии (*е*)),
обработанных в воде в отсутствие ультразвуковой модификации (*1*) и после нее (*2*)

Fig. 3. SEM images of Mg particles: in initial state (*a*);
after modification in water in the absence of the ultrasonic impact (*a*, inset);
after ultrasonic treatment of the suspension with the particles content 0.003 g/ml (*b*), 0.010 g/ml (*c*).
XRD patterns of the samples (*d*) without ultrasonic treatment (*1*) and after ultrasonic treatment (*2*)
(the rectangles demonstrate the enlarged regions of the diffractograms
for indicating the presence of the MgH_2 phase).
Thermal analysis of the sample (thermogravimetric curves (*e*)
and differential scanning calorimetry curves (*f*)) treated in water in the absence
of ultrasonic treatment (*1*) and after ultrasonic treatment in water (*2*)